

Allied Vision

# EoSens CoaXPress-12

## EoSens1.1CCX12-CM

| 一般 | |
|---|---|
| モデル | EoSens1.1CCX12-CM |
| 製品コード | F006003 |
| 製品シリーズ | EoSens CoaXPress-12 |
| ステータス | Available |

| センサー | |
|---|---|
| センサータイプ | Area scan |
| クロマ | Color |
| スペクトル | Visible |
| スペクトル範囲 | 400 nm to 1000 nm |
| 解像度 | 1,280 × 864 (1.10 MP) |
| センサーモデル | Luxima LUX13HS |
| センサー構造（材料） | cmos |
| シャッタータイプ | Global shutter (GS) |
| センサーサイズ | 17.54 × 11.84 mm (21.16 mm, Type 4/3) |
| ピクセルサイズ | 13.70 µm × 13.70 µm |

| ピクセルフォーマット | |
|---|---|
| センサービット深度 | 8-bit, 10-bit |
| RGBピクセルフォーマット | bayer8, bayer10 |

| タイミングとゲイン | |
|---|---|
| 最大フレームレート | 3674 fps |
| 最大フレームレート ROIモード | 1280 x 864 \| 3674 fps, 1280 x 768 \| 4151 fps, 640 x 480 \| 6576 fps, 128 x 128 \| 23821 fps, x \| 224673 fps, |
| 露光時間 | 2 µs to 1 s |
| ゲイン | 0.0 dB to 18.0 dB |

## I/Oと電源

| | |
|---|---|
| 非絶縁線 | 0 x LVDS input, 0 x LVDS output, 0 x TTL input, 0 x TTL output, 2 x 24V input, 0 x Open drain output, |
| 特定の非絶縁線 | 0 x RS232 input, 0 x RS232 output, 0 x RS422 input, 0 x RS422 output, |
| 光絶縁線 | 0 x Optical isolated input, 0 x Optical isolated input, |
| I/Oコネクタ | 12-pin Hirose HR10A-10P-12S |
| 電源 | 12 to 24VDC, Power over CoaXPress |
| 消費電力 | External: 14 W (typical) |

## 動作条件

| | |
|---|---|
| 動作温度 | -10 °C to 45 °C (周囲、結露なきこと) |

## 機械的特性

| | |
|---|---|
| 本体寸法（L x W x H mm） | 54 × 80 × 80 |
| IP等級 | IP30 |
| レンズマウント | C-Mount |
| 重量 | 500 g |

## インターフェース

| | |
|---|---|
| デジタルインターフェース | cxp-12 with 4 connections |
| インターフェースコネクタ | (micro-BNC) |
| ビジョン規格 | CoaXPress 2.0 |

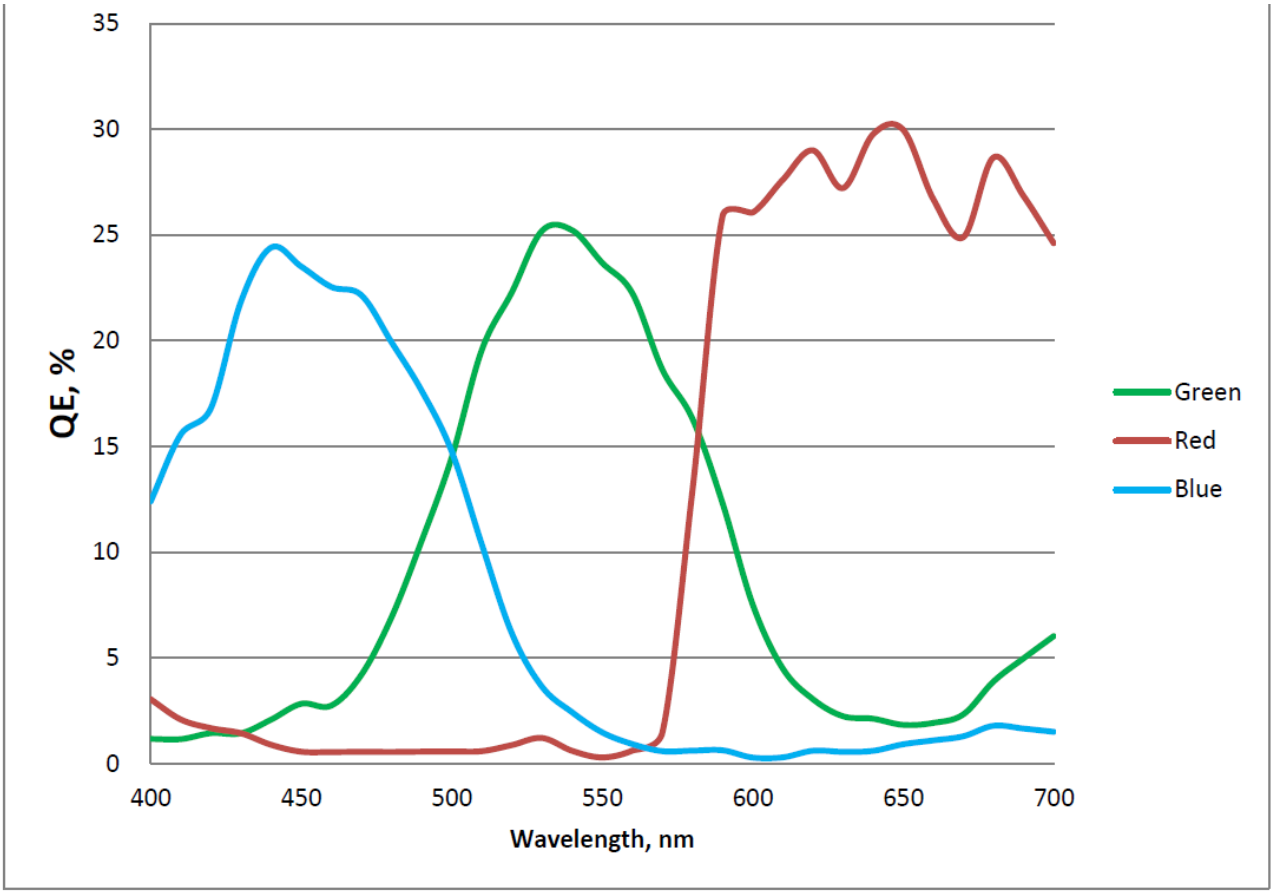
## FW機能 - 画像制御

| | |
|---|---|
| 露光モード | external |
| ゲインモード | digital, analog |
| ホワイトバランスモード | true |
| 画像制御機能 | roi, mirror-image |

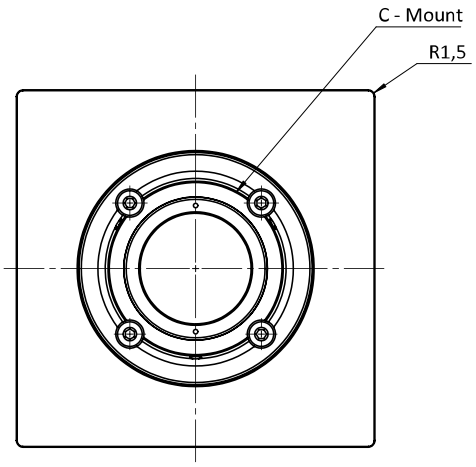
## FW機能 - カメラ制御

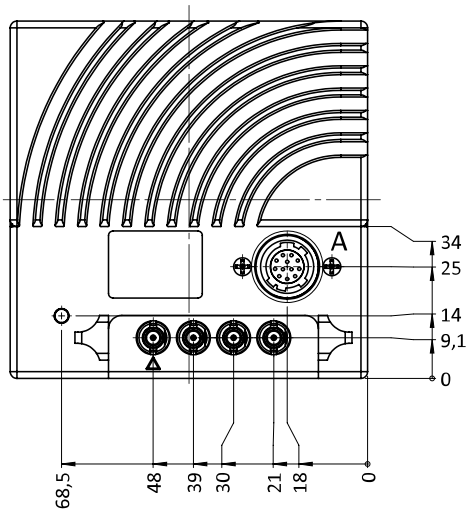
| | |
|---|---|
| トリガーモード/同期 | external, trigger-over-cxp |

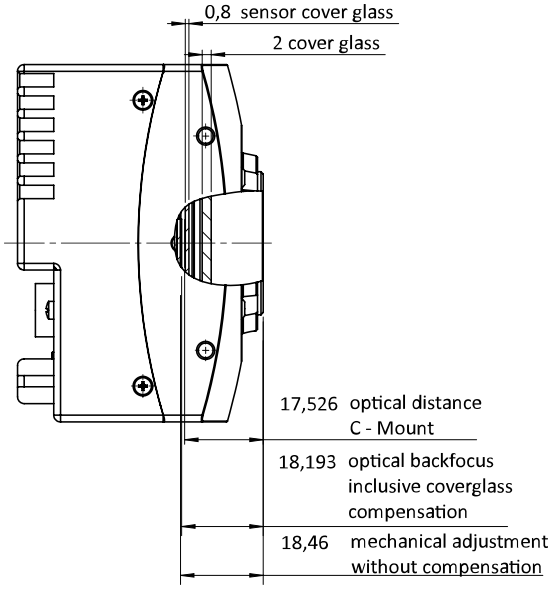
## Quantum Efficiency

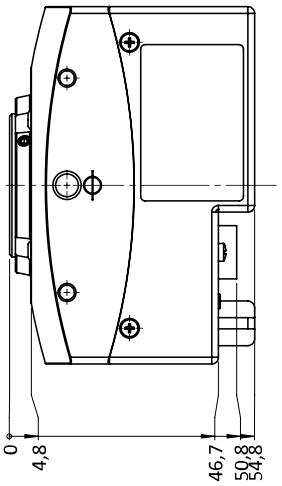


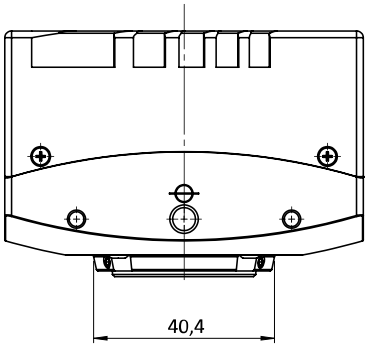
# Technical Drawing

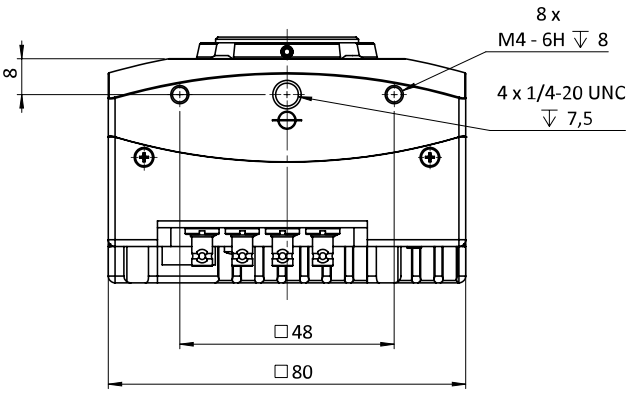


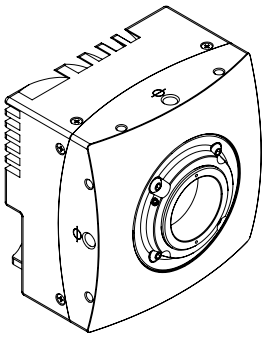



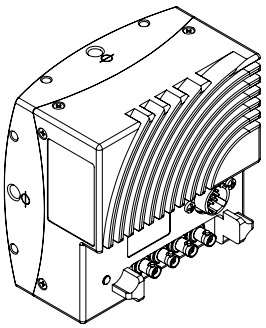



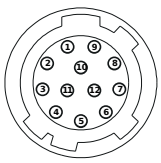




## I/O pin assignment

| | Pin | Signal | Pin | Signal |
|---|---|---|---|---|
|  | 1 + 12 | GND | 6 | IN0 |
| | 2 + 11 | VCC (12- 24V) | 7 | $IO_{GND}$ |
| | 3 | $IO_{GND}$ | 8 | OUT1 |
| | 4 | OUT0 | 9 | $IO_{GND}$ |
| | 5 | $IO_{GND}$ | 10 | IN1 |